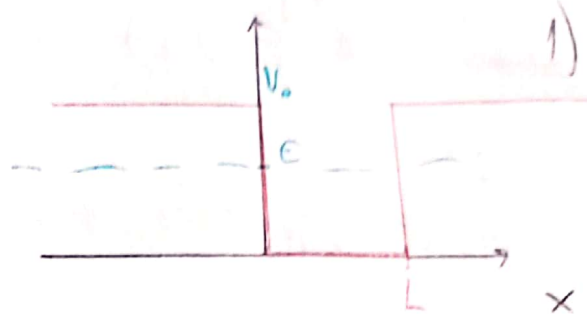


TOMÁS SZWARCBERG

1)

la ecuación de Schrödinger

unidimensional



$$-\frac{\hbar^2}{2m} \frac{\partial^2 \Psi(x,t)}{\partial^2 x} + V(x,t) \cdot \Psi(x,t) = i\hbar \frac{\partial \Psi(x,t)}{\partial t}$$

Tomado un potencial que depende únicamente de  $x$ ,  
plantear separación de variables. Esto es:

$$\Psi(x,t) = X(x) T(t), \text{ quedando:}$$

$$-\frac{\hbar^2}{2m} T(t) \frac{d^2 X(x)}{dx^2} + V(x) X(x) T(t) = i\hbar X(x) \frac{dT(t)}{dt}$$

Dividiendo todo por  $X(x) T(t)$ , queda:

$$-\frac{\hbar^2}{2m} \frac{1}{X(x)} \cdot X''(x) + V(x) = i\hbar \frac{T'(t)}{T(t)}$$

Cada lado de la igualdad depende de una variable distinta, entonces debe ser constante. Esto nos lleva al interés

$$\begin{cases} -\frac{\hbar^2}{2m} \frac{1}{X(x)} X''(x) = C \\ i\hbar \frac{1}{T(t)} T'(t) = C \end{cases}, \text{ con } C \text{ constante.}$$

• Por lo tanto  $i\hbar \frac{1}{\psi} \psi'(x) = C$ , tenemos:

HODN 2

$$\frac{d\psi(x)}{dx} = \frac{C}{i\hbar} \psi(x) \Rightarrow \psi(x) = e^{-\frac{iC}{\hbar}x}, \text{ donde } C = E_{\text{enr.}}$$

$$\therefore \boxed{\psi(x) = e^{-\frac{iE}{\hbar}x} = e^{-i\omega t}}$$

Como  $C = E$ , lo escribiremos para la variable espacial  $x$ :

$$-\frac{\hbar^2}{2m} \frac{1}{\psi(x)} \psi''(x) = E - V(x)$$

Multipliquemos por  $\psi(x)$ :

$$-\frac{\hbar^2}{2m} \psi''(x) = \psi(x) [E - V(x)]$$

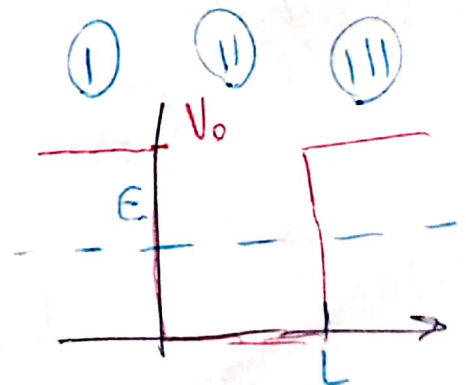
$$\psi''(x) = \frac{-2m}{\hbar^2} [E - V(x)] \psi(x) = \frac{2m}{\hbar^2} [V(x) - E] \psi(x)$$

Sabemos que el potencial es

$$V(x) = \begin{cases} V_0, & 0 < x < L \\ 0, & x < 0 \text{ o } x > L \end{cases}$$

Por lo tanto, podemos encontrar 3 zonas distintas para la función de onda.

Como  $V_0 - E > 0$  en las zonas ① y ③, tenemos



$$X''(x) = \frac{2m}{\hbar^2} \underbrace{[V_0 - E]}_{>0} X(x)$$

140303

Dentro del pozo (zona ②) tenemos que  $V(x) = 0$ ,  
entonces

$$X_2''(x) = \frac{-2mE}{\hbar^2} X(x). \quad \therefore \text{llamamos } K_2 = \frac{\sqrt{2mE}}{\hbar}, \text{ entonces}$$

$$X_2''(x) = -K_2^2 X_2(x) \Rightarrow X_2(x) = A_2 \sin(K_2 x) + B_2 \cos(K_2 x)$$

Volviendo a las zonas ① y ③, tenemos entonces

$$X_1''(x) = \frac{2m}{\hbar^2} (V_0 - E) > 0, \text{ llamando } K_1^2 = \frac{2m}{\hbar^2} (V_0 - E)$$

queda  $X_1''(x) = K_1^2 X(x)$ . Esto es,

~~$$X_1(x) = A_1 e^{K_1 x} + B_1 e^{-K_1 x}$$~~

$$X_1(x) = A_1 e^{-K_1 x} + B_1 e^{K_1 x}, \text{ donde necesariamente}$$

~~$B_1 = 0$~~   $B_1 = 0$  por no diverger. Entonces, es

~~$$X_1(x) = A_1 e^{-K_1 x}$$~~

$$X_1(x) = A_1 e^{-K_1 x} + B_1 e^{K_1 x}$$

$$X_3(x) = A_3 e^{-K_1 x}$$

(Nota que como no <sup>pod</sup> diverger  
a la derecha, solo se mantienen  
los coeficientes acotados)

Entonces, las soluciones espaciales son:

$$\chi_1(x) = A_1 e^{-k_1 x}$$

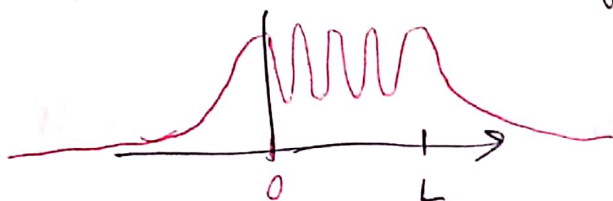
$$\chi_2(x) = A_2 \sin(k_2 x) + B_2 \cos(k_2 x)$$

$$\chi_3(x) = A_3 e^{-k_1 x}$$

con  $k_1 = \frac{\sqrt{2m(V_0 - E)}}{\hbar}$

y  $k_2 = \frac{\sqrt{2mE}}{\hbar}$

El gráfico de la parte real tendría la forma



Para calcular coeficientes, habrá que pedir continuidad de  $\psi(x,t)$  en  $x=0$  y  $x=L$  y de su derivada, además de pedir  $\int_{-\infty}^{\infty} \psi^* \psi dx = 1$ .

b) Si para  $x < 0$  y  $x > L$   $V_0 = \infty$ , tenemos que la partícula solo se puede mover entre 0 y L, rebotando. Esto hace que

$\psi(x) = 0$  si  $x < 0$  y  $x > L$ . Como pedimos continuidad en la función,

$\psi(0) = \psi(L) = 0$ . Volvemos entonces a la función de onda dentro del pozo, que es de la forma

$$\psi(x) = A \sin(kx) + B \cos(kx) \rightarrow$$



Si  $\psi(0)=0$ ,  $A \sin(0) + B \cos(0) = 0$

Hoja 5


$\rightarrow \boxed{B=0}$

Esto hace  $(\psi(0)=0)$  que las únicas posibles longitudes de onda son tales que  $\frac{\lambda}{2} \cdot n = L$ , ~~dependiendo~~ con  $n \in \mathbb{N}$ , llegando a:


$$E = \frac{p^2}{2m} = \frac{1}{2m} \left( \frac{h}{\lambda} \right)^2 = \frac{1}{2m} \frac{h^2}{\left( \frac{2L}{n} \right)^2} = \frac{n^2 h^2}{2m 4L^2}$$

$\Rightarrow \boxed{E_n = \frac{n^2 h^2}{8mL^2}}$ , con los valores permitidos de energía dentro del pozo. como  $k = \frac{\sqrt{2mE_n}}{\hbar}$ , los posibles valores

de  $k$  son  $k_n = \frac{\sqrt{2mE_n}}{\hbar} = \frac{\sqrt{2m \frac{n^2 h^2}{8m 4L^2}}}{\hbar} = \frac{\frac{nh}{2L}}{\hbar} =$

$= \frac{nh}{2L} \frac{2\pi}{h} \Rightarrow \boxed{k_n = \frac{n\pi}{L}}$ ,  $n \in \mathbb{N}$ . 

c) los posibles valores de  $E$  fueron encontrados en el punto b)

Como  $E_n = \frac{n^2 h^2}{8mL^2}$ , con  $n \in \mathbb{N}$ . 

~~© los perfiles~~

Hoja 6

d) Por las postulaciones de De Broglie, la frecuencia  $\omega$  está dada por  $E = \hbar \omega$ . Como  $E = E_c$  para el pozo, entonces:

$$\omega = \frac{E}{\hbar} = \frac{1}{\hbar} \frac{n^2 \hbar^2}{8mL^2} = \frac{2\pi}{\hbar} \frac{n^2 \hbar^2}{8mL^2} = \frac{2\pi n^2 \hbar}{8mL^2}$$

$$\omega_n = \frac{\pi^2 n^2 \hbar}{4mL^2}, \quad n \in \mathbb{N}.$$

e) Por la continuidad de  $\psi$  en  $0$  y  $L$ , más que tener que estar dado por  $\psi(x) = A \sin\left(\frac{n\pi}{L} x\right)$  ya que  $b=0$ .

Como  $\int_{-\infty}^{\infty} |\psi(x,t)|^2 dx = 1$ , tenemos:

$$\int_{-\infty}^0 0 dx + \int_0^L \psi^* \psi dx + \int_L^{\infty} 0 dx = \int_0^L e^{i\omega t - i\omega t} \cdot \sin^2\left(\frac{n\pi x}{L}\right) dx = 1$$

$$\Rightarrow |A_n|^2 \int_0^L \sin^2\left(\frac{n\pi x}{L}\right) dx = |A_n|^2 \frac{1}{4} L \left(2 - \frac{\sin(2\pi n)}{\pi n}\right)$$

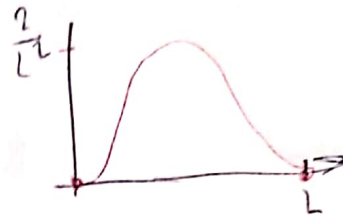
$$\rightarrow |A_n|^2 \frac{L}{2} = 1 \rightarrow A_n = \sqrt{\frac{2}{L}}$$

$$\therefore \boxed{\psi(x,t) = \sqrt{\frac{2}{L}} \sin\left(\frac{n\pi}{L} x\right) e^{-i\omega_n t}} \quad 0 < x < L, \text{ y } 0 \text{ d.o.c.}$$

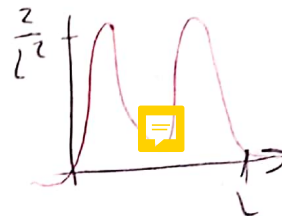
f) la densidad es:  $|\Psi(x,t)|^2 = \frac{2}{L^2} \sin^2\left(\frac{n\pi}{L}x\right)$ ,  $0 \leq x \leq L$

Con  $n=1$ , esto es:

$$P(x) = \frac{2}{L^2} \sin^2\left(\frac{\pi}{L}x\right)$$



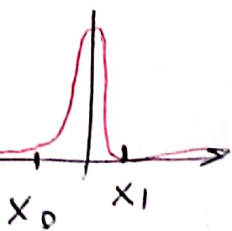
Con  $n=2$ ,  $P(x) = \frac{2}{L^2} \sin^2\left(\frac{2\pi}{L}x\right)$



Si  $n=3$ ,  $P(x) = \frac{2}{L^2} \sin^2\left(\frac{3\pi}{L}x\right)$



2) El principio de incertidumbre dice que no es posible hacer una medición exacta de  $X$  y  $P$  o  $E$  y  $t$  simultáneamente para una partícula, sino que al conocer uno de los 2 aumenta mucho la incertidumbre en el otro parámetro. Por ejemplo, midamos la siguiente función de onda:

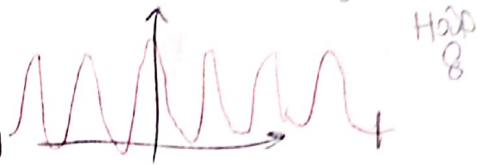


→ Sabemos que con total seguridad la partícula será encontrada entre  $x_0$  y  $x_1$ , siendo  $\Delta x$  pequeño. Sin embargo, no sabemos con

certeza por cuánto frecuencia está compuesta la función de onda. Es decir que en este caso  $\Delta x$  o  $\Delta p$  son muy grandes, no los podemos conocer esos valores de  $p$  o  $k$  con exactitud.



En cambio, para funciones de onda donde la cantidad de partículas es claramente diferenciable, la incertidumbre espacial será grande. Por ejemplo, si la función de onda fuera:



Aunque conozcamos bien  $X$ , la incertidumbre de  $x'$  es muy grande, no sabemos en qué zona está. Algo similar ocurre entre mediciones de energía y tiempo; no podemos conocer la  $2$  con exactitud. La expresión matemática de esto es:

$$\begin{cases} \Delta X \Delta p \geq \frac{\hbar}{2} \\ \Delta E \Delta t \geq \frac{\hbar}{2} \end{cases}$$

Evaluemos entonces para  $L = 1 \text{ nm}$  y  $l = 1 \text{ nm}$ .

Es  $\Delta V = \hbar \Delta p$ , entonces  $\Delta x \hbar \Delta p \geq \frac{\hbar}{2}$ ,  $\Delta x \geq \frac{\hbar}{2 \hbar \Delta p}$ .

Calculamos primero  $\Delta p$ , como  $\langle p^2 \rangle = \langle p^2 \rangle - \langle p \rangle^2$

$$\langle p \rangle = \int_0^L \psi^* \frac{\hbar}{i} \psi'(x) dx = \int_0^L \frac{\hbar}{i} \sqrt{\frac{2}{L}} \sin\left(\frac{\pi x}{L}\right) \sqrt{\frac{2}{L}} \frac{\pi}{L} \cos\left(\frac{\pi x}{L}\right) dx$$

$$= \frac{\hbar}{i} \frac{2}{L^2} \pi \int_0^L \sin\left(\frac{\pi x}{L}\right) \cos\left(\frac{\pi x}{L}\right) dx = \frac{-i \hbar 2 \pi}{L^2} \int_0^L \dots$$

$$= \frac{\hbar 2 \pi}{i L^2} \left[ \frac{-L \cos\left(\frac{2 \pi x}{L}\right)}{4 \pi} \right]_0^L = \frac{\hbar 2 \pi}{i L^2} \left[ \frac{-L}{4 \pi} + \frac{L}{4 \pi} \right] = \boxed{0}$$





$$\begin{aligned}
 \langle p^2 \rangle &= \int_0^L \left( \sqrt{\frac{2}{L}} \sin\left(\frac{\pi x}{L}\right) \frac{\hbar^2}{-1} \left( \sqrt{\frac{2}{L}} \frac{\pi}{L} \cos\left(\frac{\pi x}{L}\right) \right) \right) dx = \text{Hojla 9} \\
 &= \int_0^L \frac{-2}{L} \cdot \frac{\hbar^2 \pi}{L} \sin\left(\frac{\pi x}{L}\right) \left( -\sin\left(\frac{\pi x}{L}\right) \frac{\pi}{L} \right) dx = \frac{2\pi\hbar^2}{L^3} \int_0^L \sin^2\left(\frac{\pi x}{L}\right) dx = \\
 &= \frac{2\pi\hbar^2}{L^3} \left[ \frac{x}{2} - \frac{\sin\left(\frac{2\pi x}{L}\right)}{4\frac{\pi}{L}} \right]_0^L = \frac{2\pi\hbar^2}{L^3} \left[ \frac{L}{2} - \frac{0}{4\frac{\pi}{L}} + \frac{\sin(0)}{4\frac{\pi}{L}} \right] = \\
 &= \frac{2\pi\hbar^2}{L^3} \frac{L}{2} = \boxed{\frac{\pi\hbar^2}{L}}
 \end{aligned}$$

$$\Rightarrow \Delta p = \frac{\pi\hbar^2}{L} - 0 = \boxed{\frac{\pi\hbar^2}{L}}$$

com  $\Delta p = m \Delta v$ ,

$$\Delta v = \frac{\pi\hbar^2}{Lm}$$

$$\Delta x \geq \frac{1}{2} \frac{L}{\pi\hbar} = \frac{L}{2\pi\hbar}$$

Si  $L = 1 \mu\text{m}$ ,

$$\begin{aligned}
 \Delta v &= \frac{\pi\hbar^2}{m \cdot 10^{-6} \text{ m}} = \frac{\pi \cdot (6,62 \cdot 10^{-34})^2}{9,1 \cdot 10^{-31} \text{ kg} \cdot 10^{-6} \text{ m}} = 1,51 \cdot 10^{-30} \frac{\text{m}}{\text{s}}
 \end{aligned}$$

Si  $L = 1 \text{ nm}$ ,

$$\Delta v = 1,51 \cdot 10^{-27} \frac{\text{m}}{\text{s}}$$